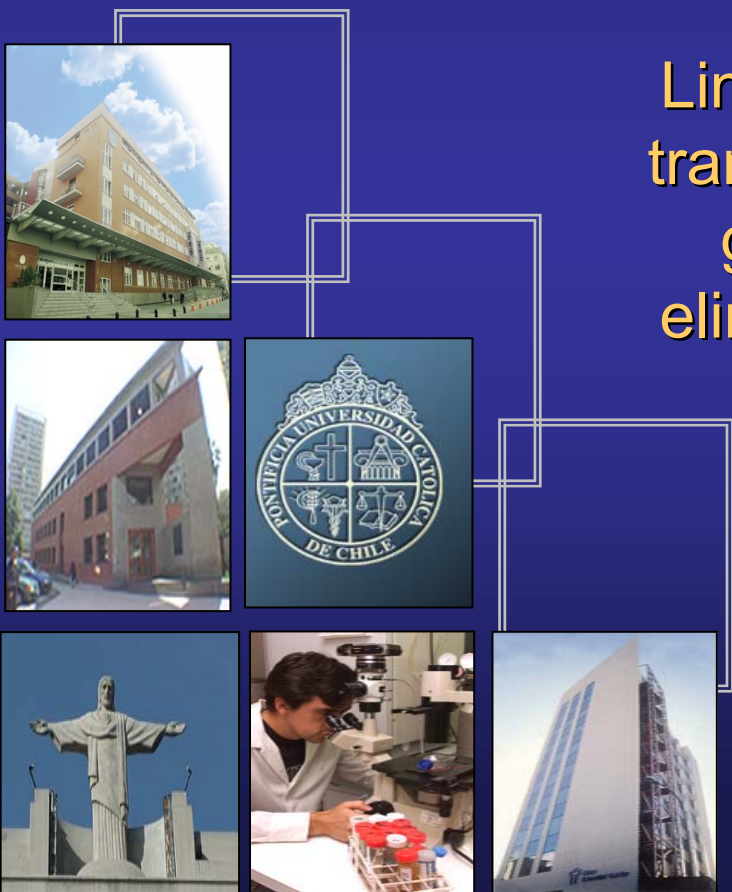


XV Congreso Sociedad Chilena de Hematología

Mantagua, 26 de Octubre 2006



Linfocitos T humanos activados *ex vivo* y transducidos con el gen suicida ΔCD34-tk generan GVHD y son eficientemente eliminados *in vivo* en un modelo de ratón

DR. BRUNO NERVI
PROGRAMA DE CANCER
PONTIFICIA UNIVERSIDAD CATOLICA DE CHILE

INTRODUCCION

- El GVHD es la mayor causa de morbi-mortalidad en trasplante alogeneico de precursores hematopoyeticos.
- Modelos animales para el GVHD humano ayudarian en el desarrollo de mejores tratamientos, estos no existen.
- La manipulacion *ex vivo* de linfocitos disminuye su funcionalidad.

OBJETIVOS

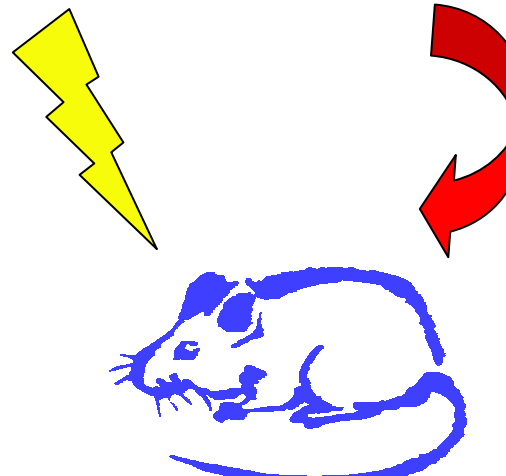
1. Desarrollar un modelo de GVHD humano en ratones inmunosuprimidos
2. Transducir linfocitos T humanos (huT) con el gen suicida CD34/tk preservando su función (huT^{CD34/tk}).
3. Demostrar que es posible eliminar eficientemente *in vivo* los huT^{CD34/tk} para prevenir GVHD.

Ratones NOD SCID β 2m^{-/-}

- Cruza entre ratones:
NOD SCID x β 2-microglobulina^{-/-}
- No expresan MHC clase I
- Inmunidad reducida por perdida de linfocitos B, T y celulas NK

DISEÑO EXPERIMENTAL

250 cGy
(dia 0,-1)



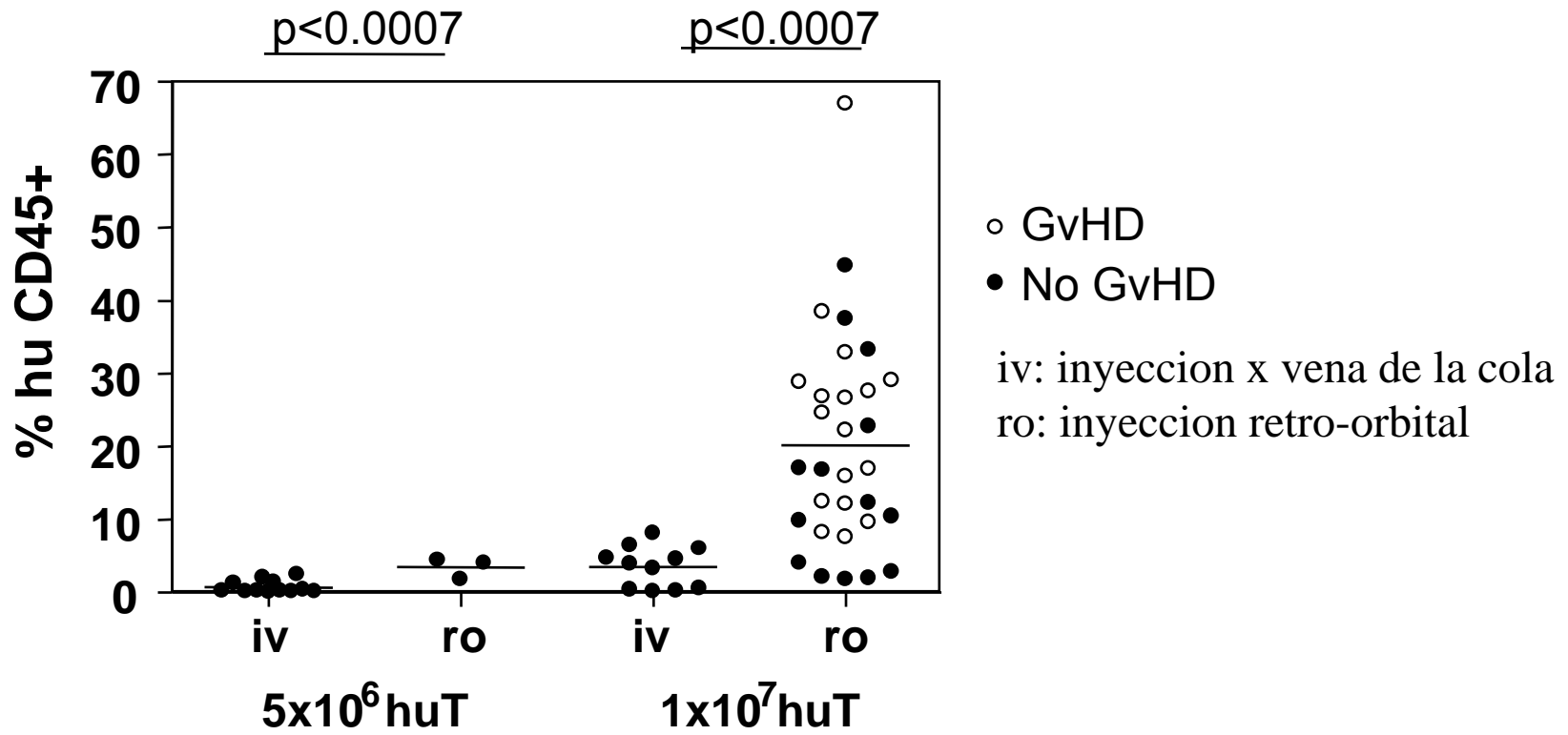
NOD SCID β 2m null

huT

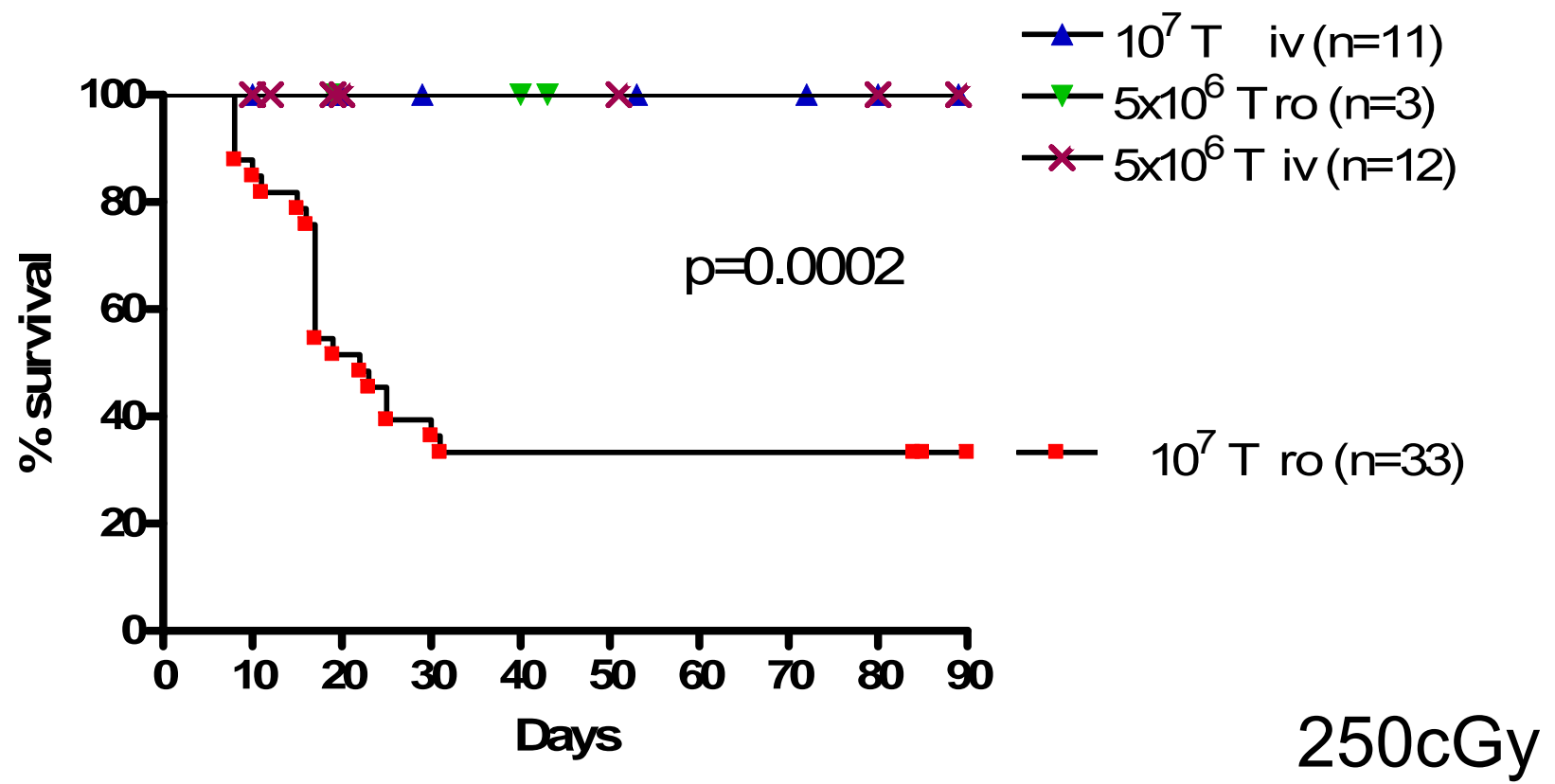
iv o ro
(dia 0)

- Signos de GVHD
 - ↓ actividad
 - jorobados
 - Pelo desordenado
 - ↓ peso > 20%
- Celldyn semanal
- Prendimiento (FACS)
- Citokinas humanas en suero
- Patología

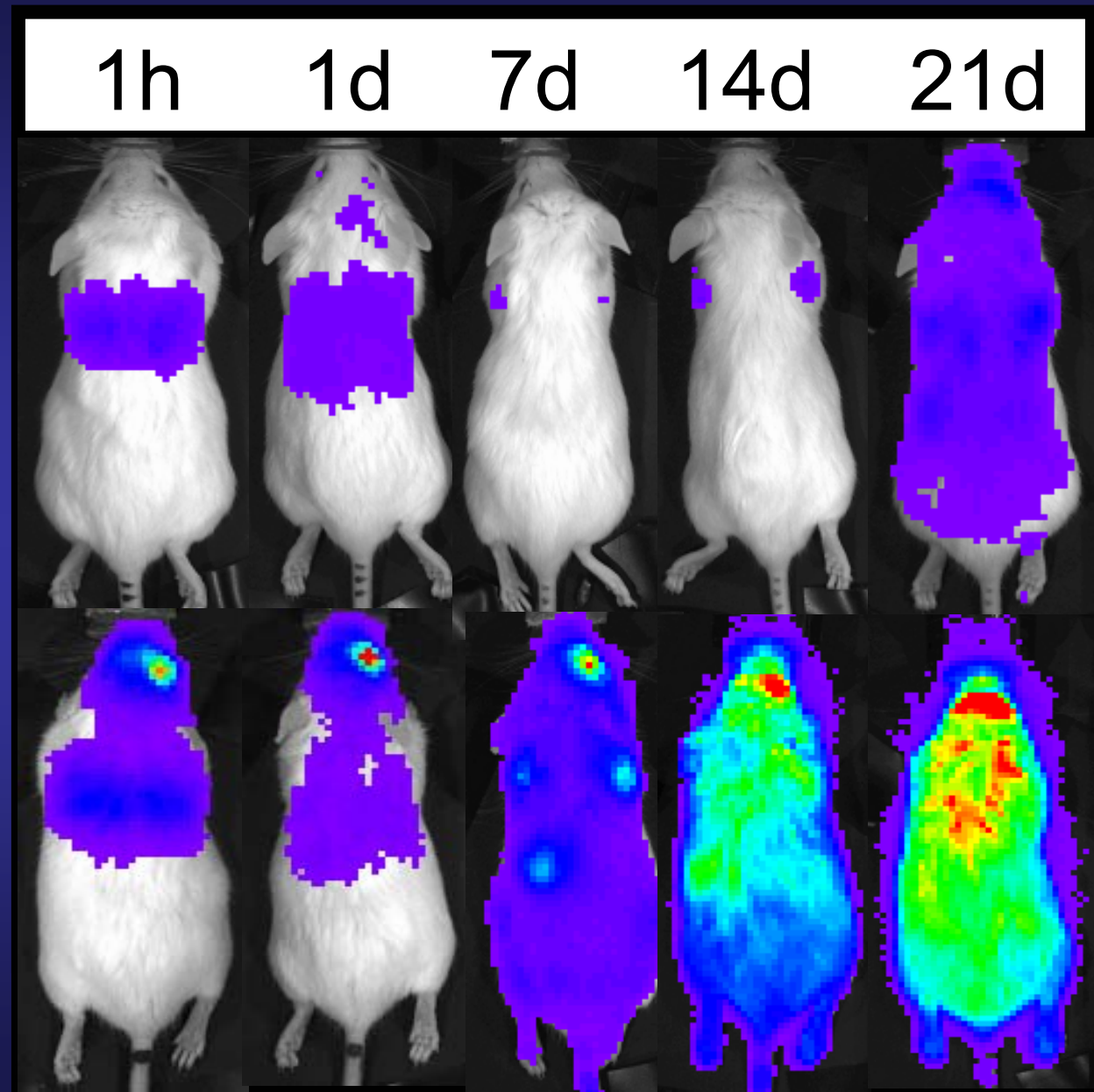
EXPANSION DE huT EN SANGRE DE RATONES



Kaplan Meier analisis de sobrevida

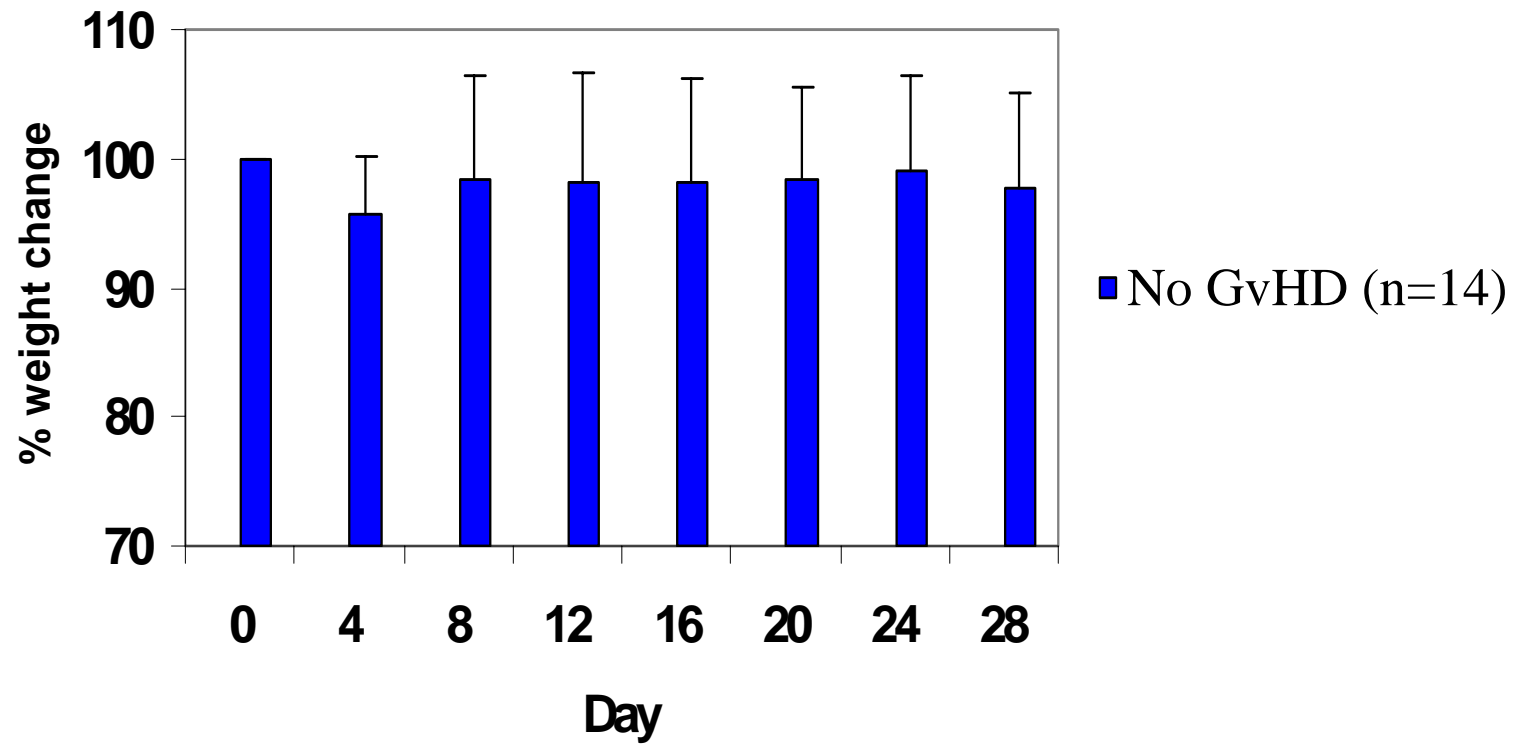


**Inyeccion
vena de la cola**



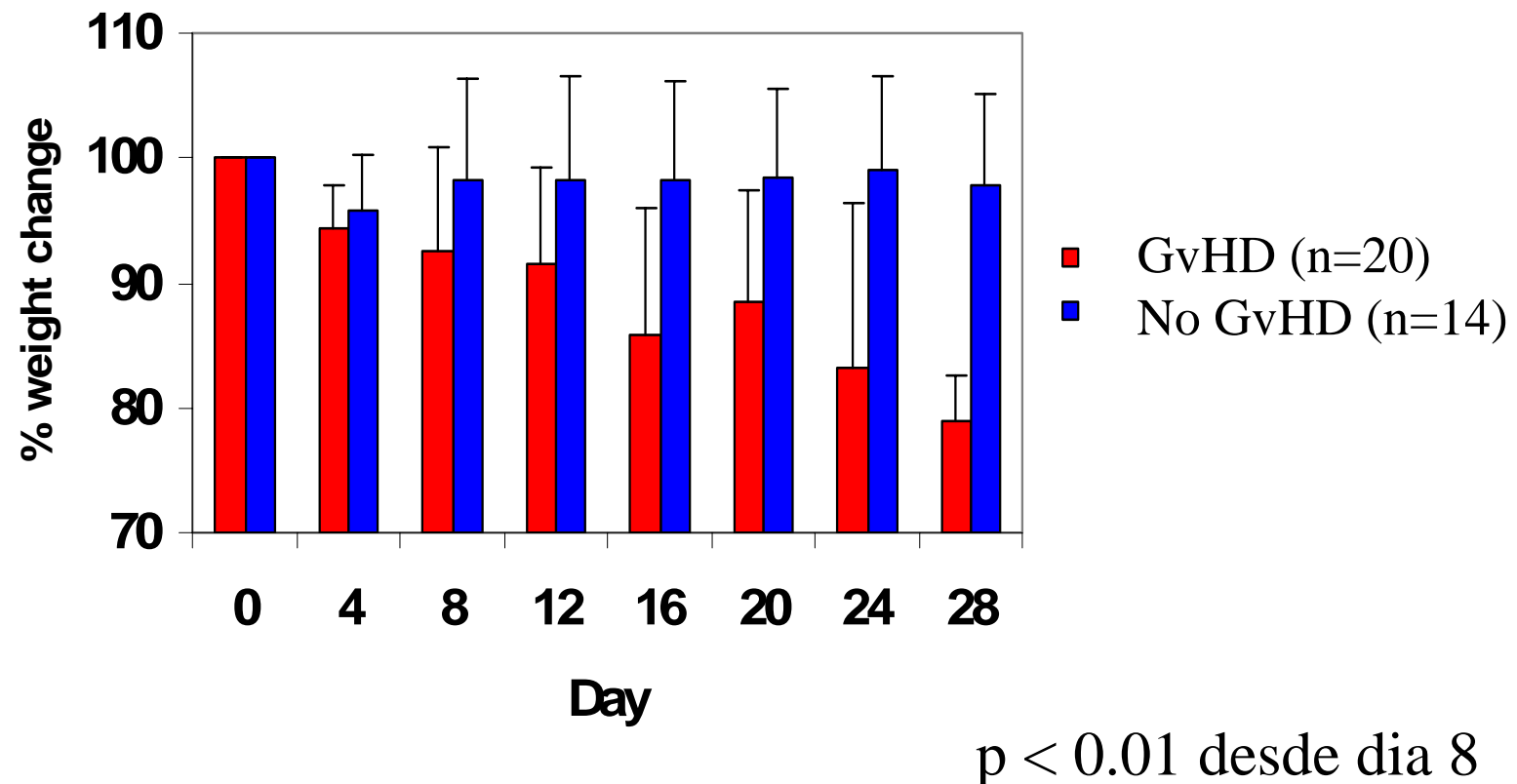
Cambios en el peso

(10^7 huT ro - 250cGy)

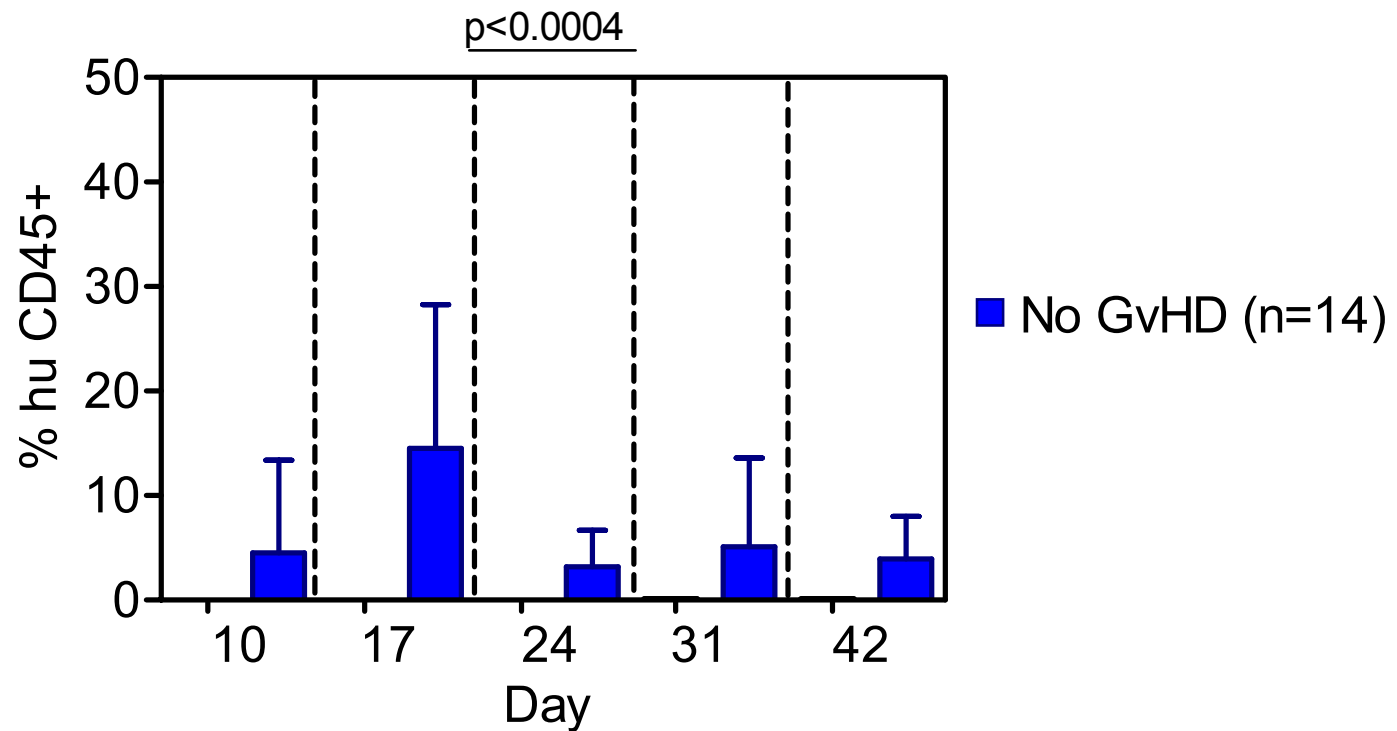


Cambios en el peso

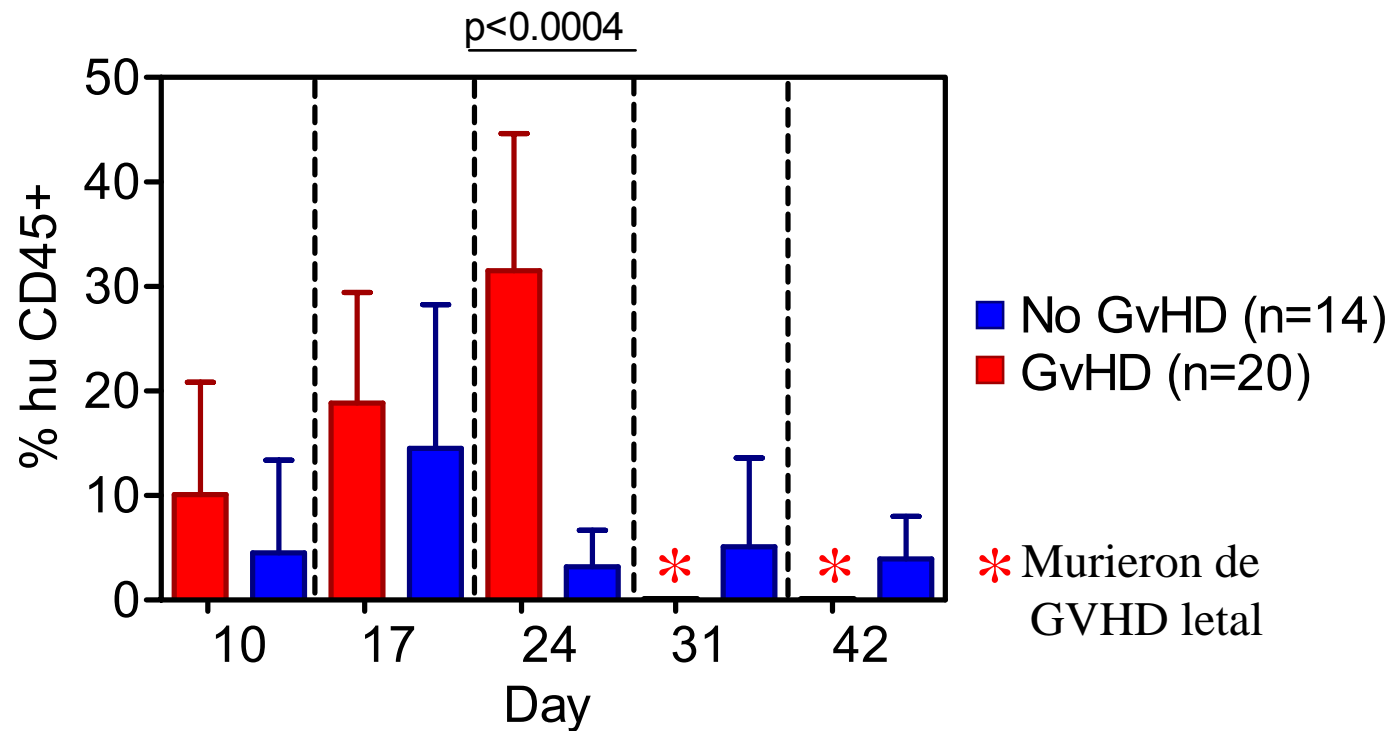
(10^7 huT ro - 250cGy)



Expansion de huT en sangre (10^7 huT ro - 250cGy)



Expansion de huT en sangre (10^7 huT ro - 250cGy)



3a

Control
mononucleares
humanos

sangre

bazo

hígado

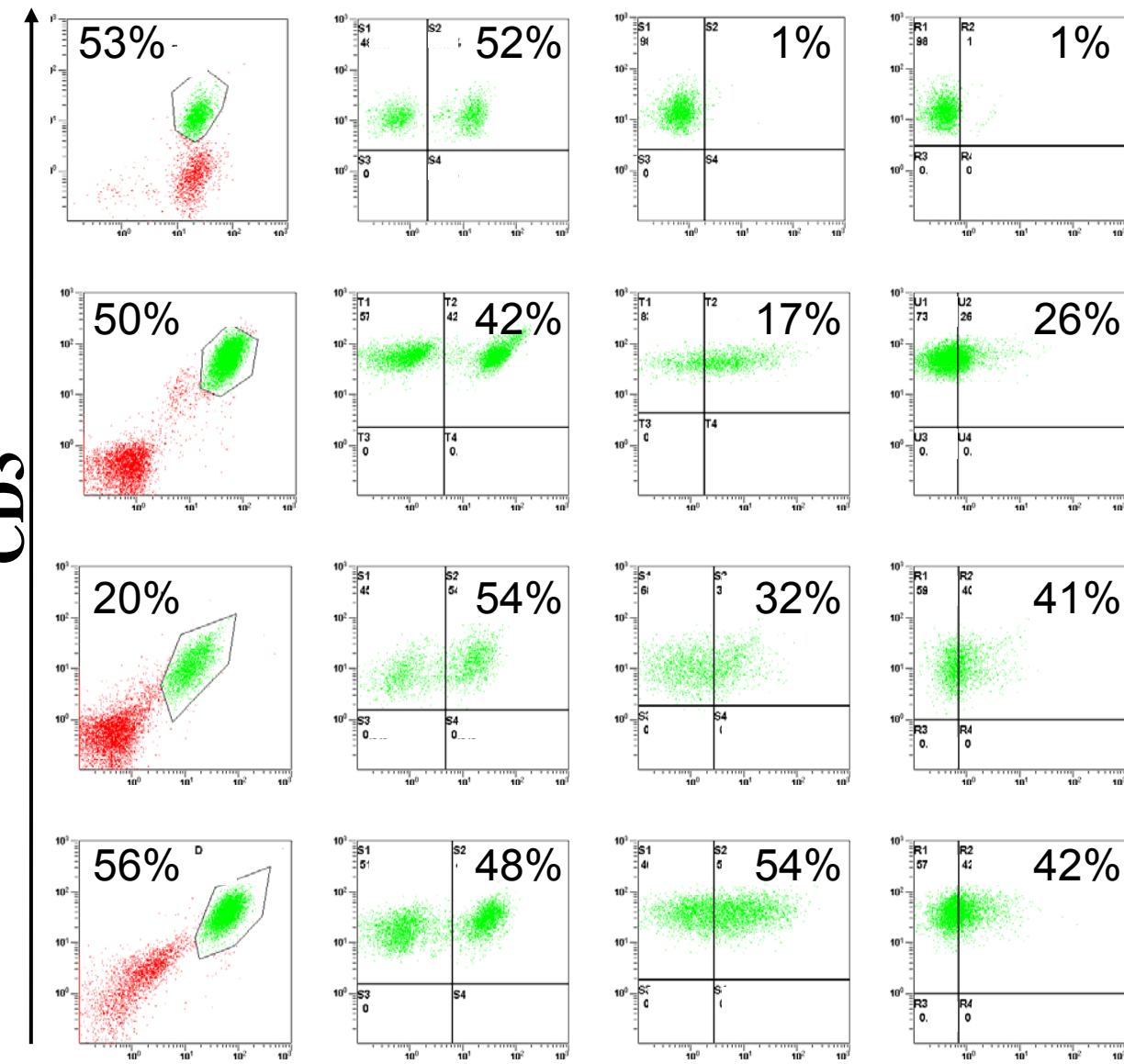
CD3

CD45

CD4

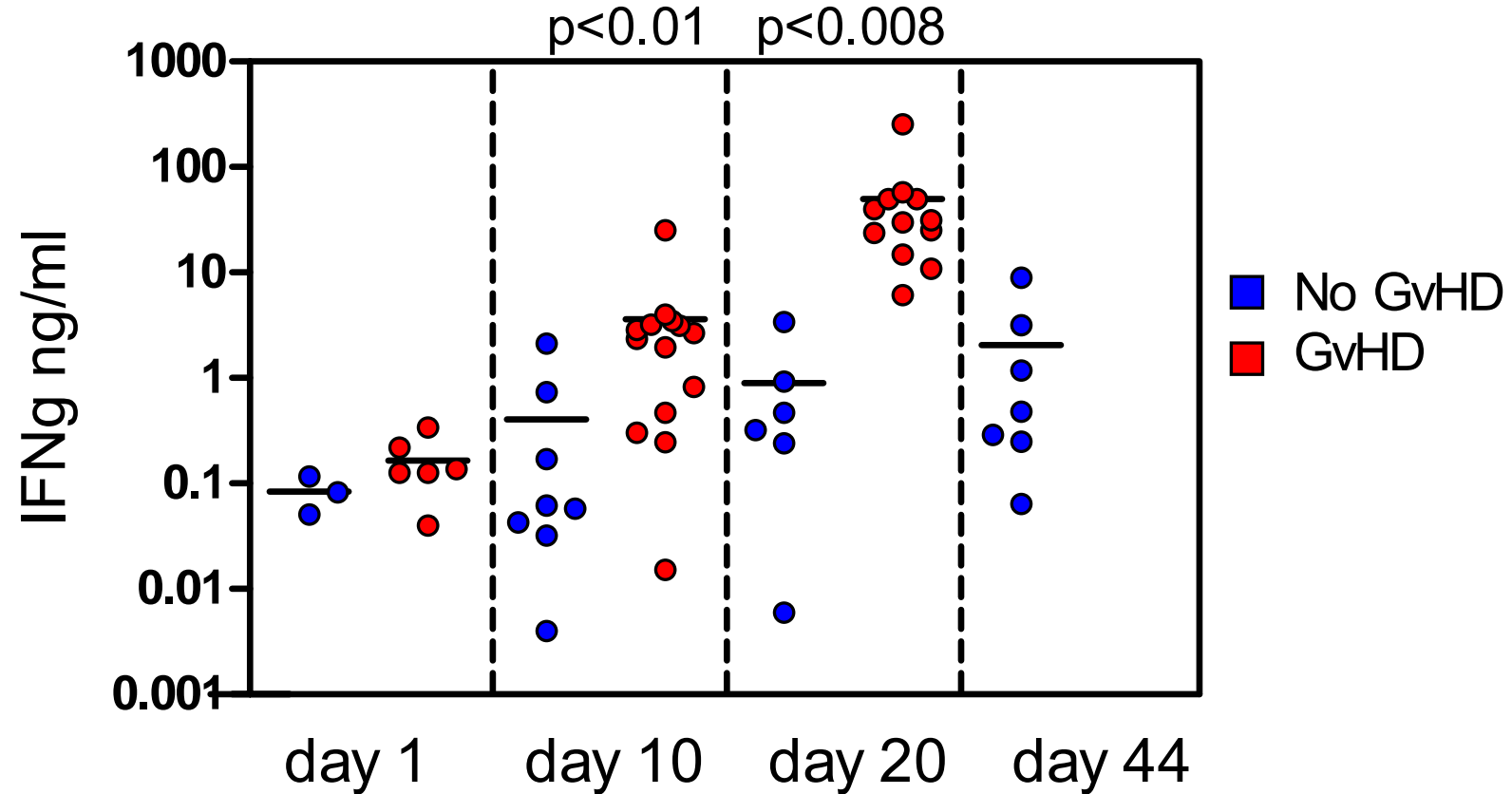
CD25

CD30

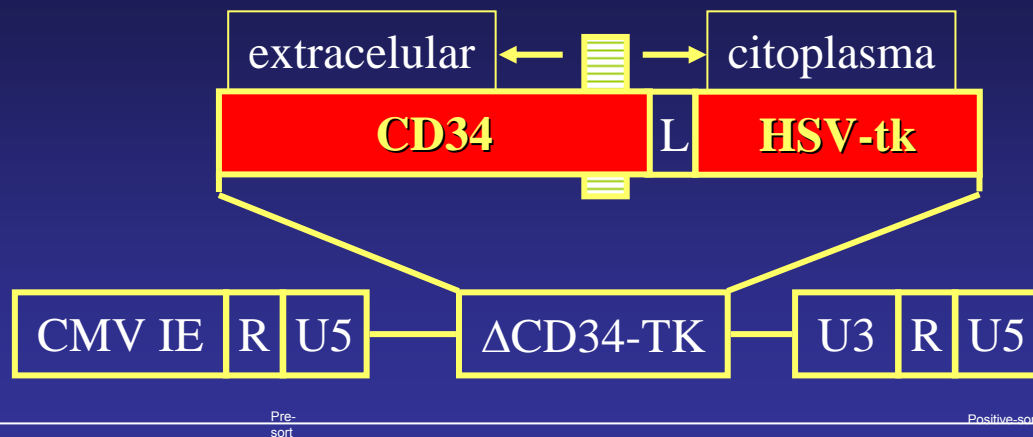


Niveles sericos de IFN γ

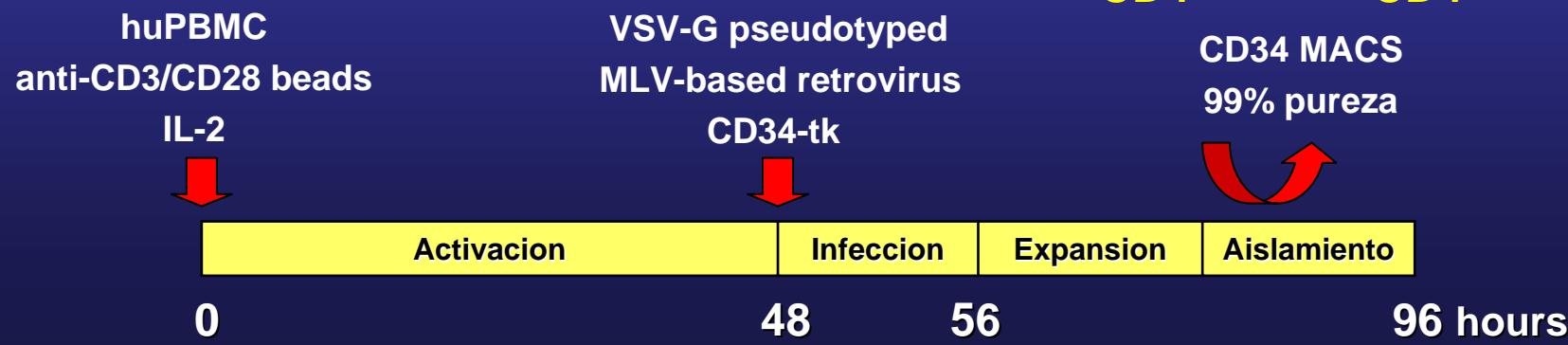
(10⁷ huT ro - 250cGy)



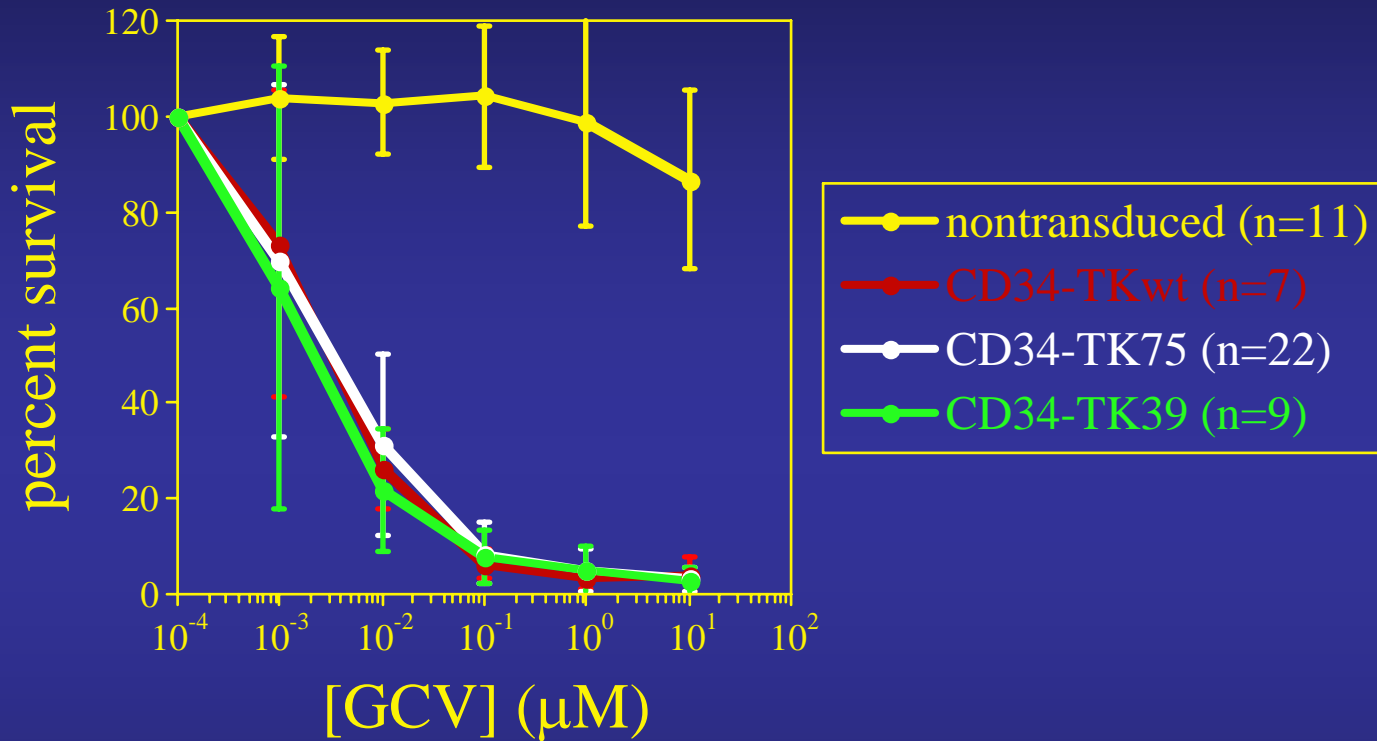
Gen suicida



Protocolo de activacion y transduccion



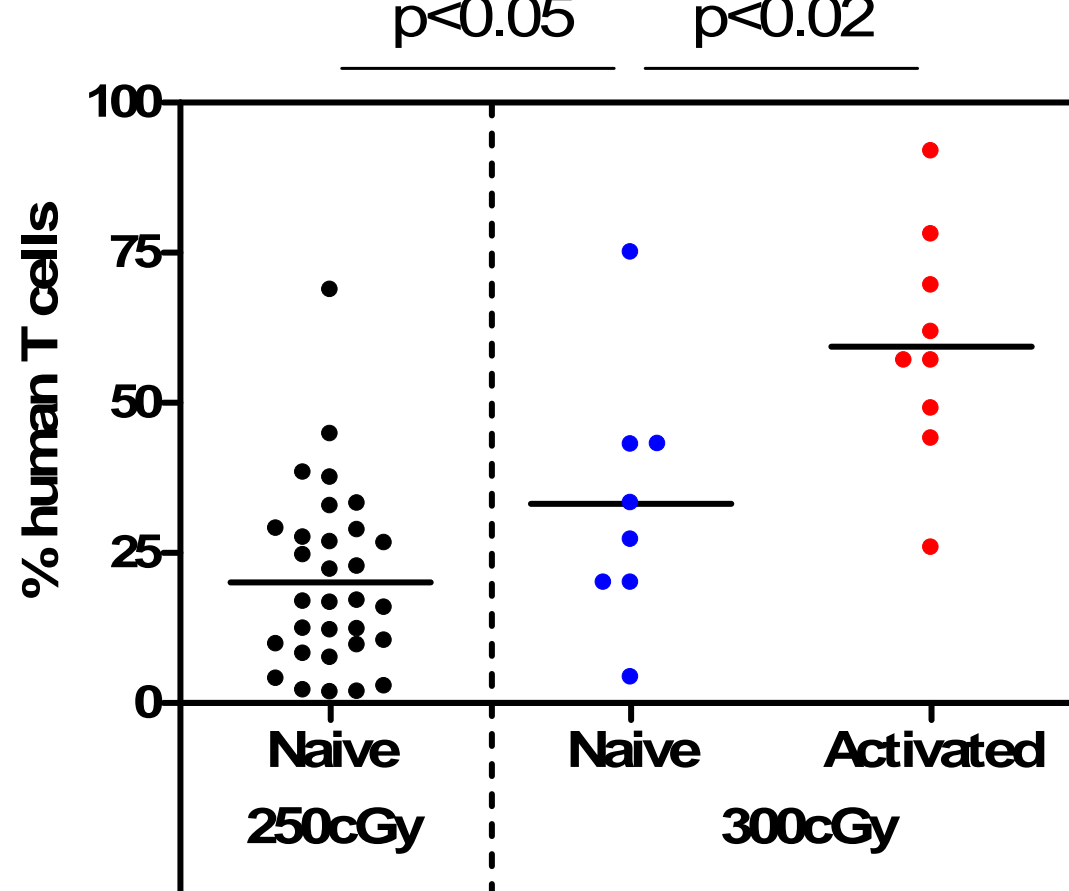
Sensibilidad de huT al Ganciclovir



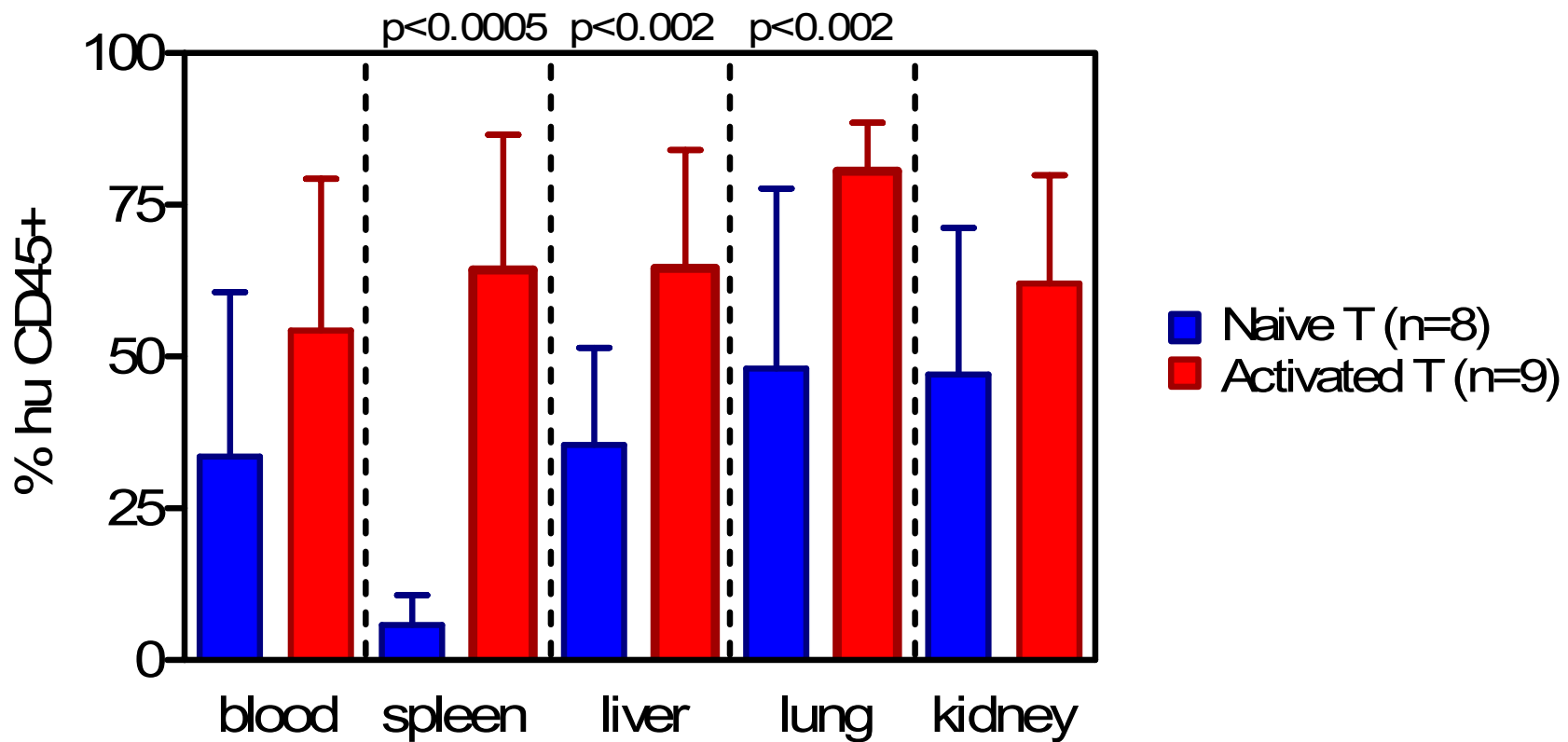
	IC ₅₀ (μM)
CD34-TKwt	0.0031
CD34-TK75	0.0033
CD34-TK39	0.0022

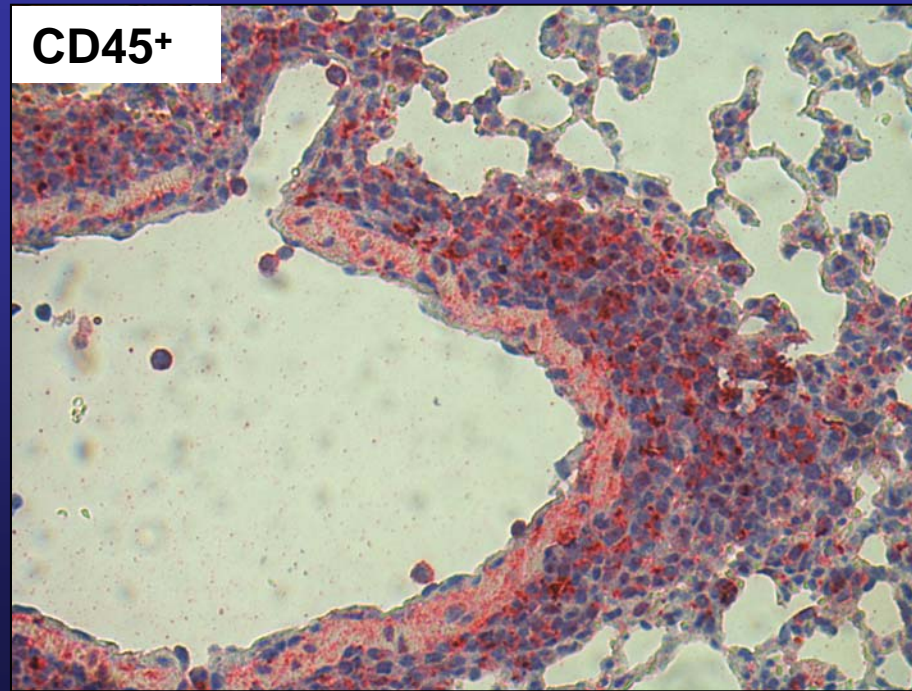
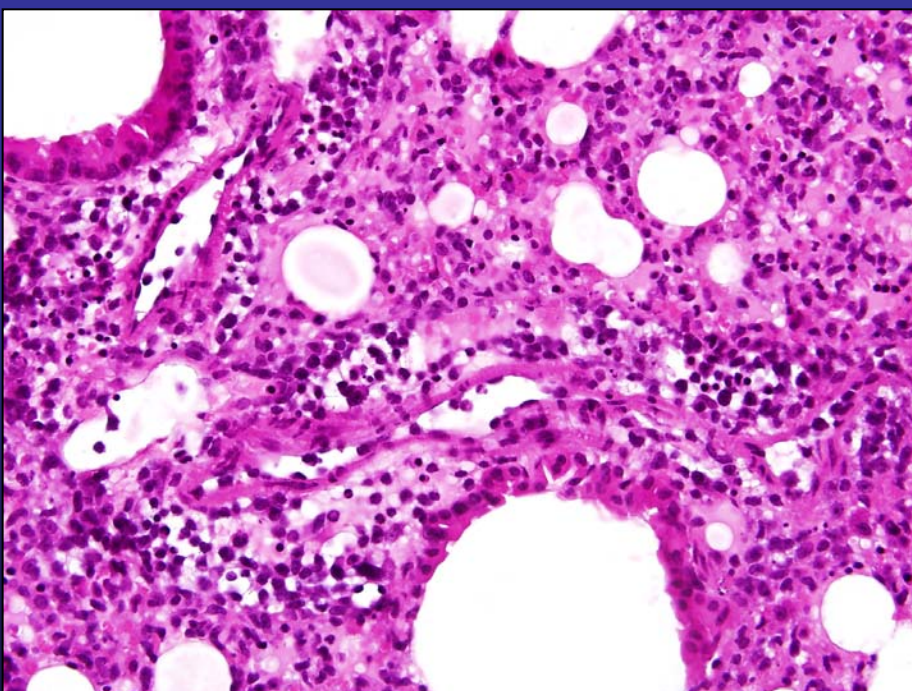
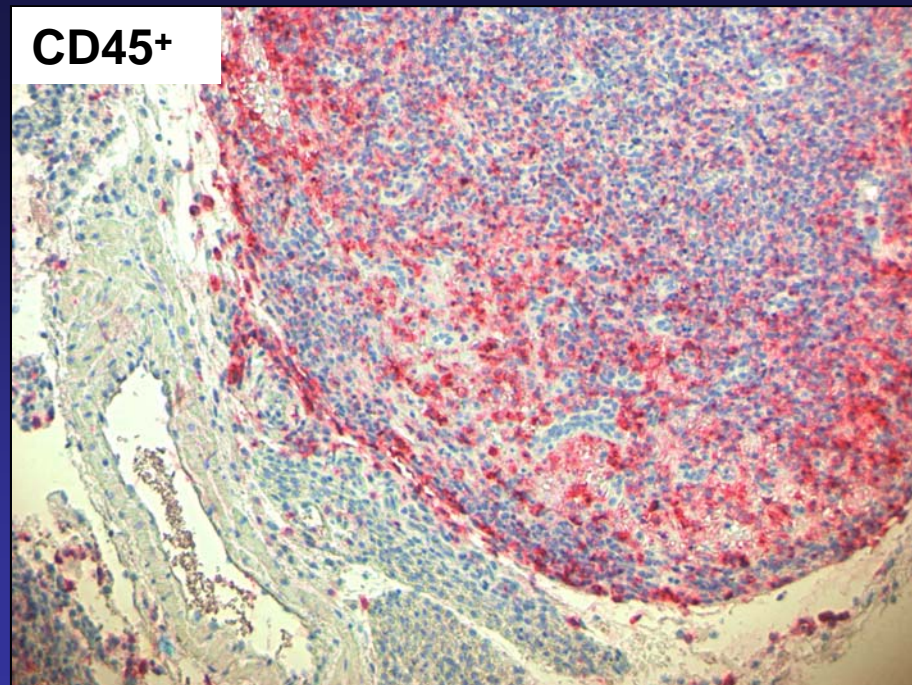
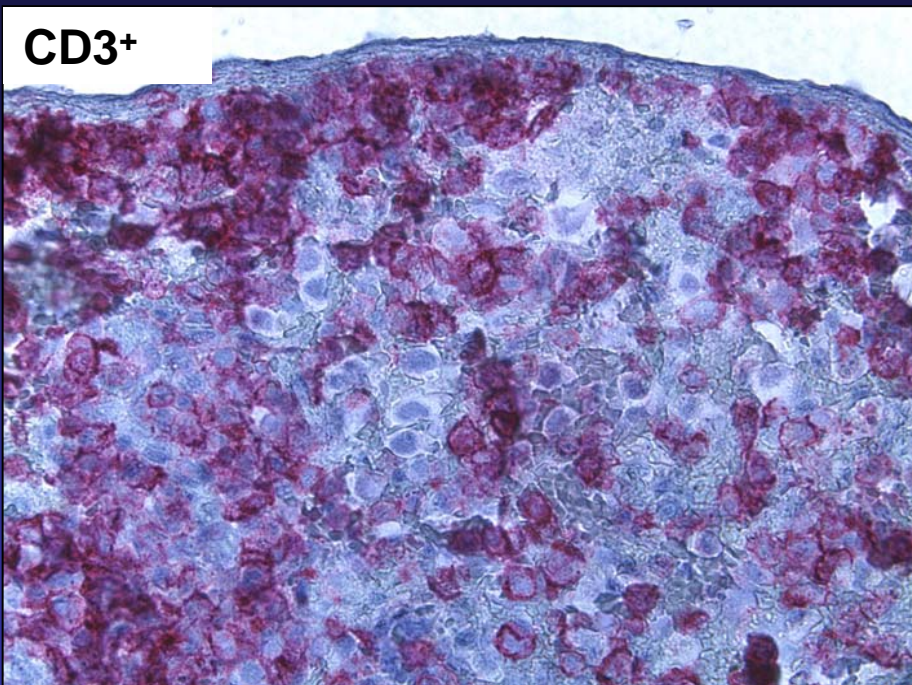
Maxima expansion de huT en sangre

(10^7 huT ro – 250 or 300cGy)

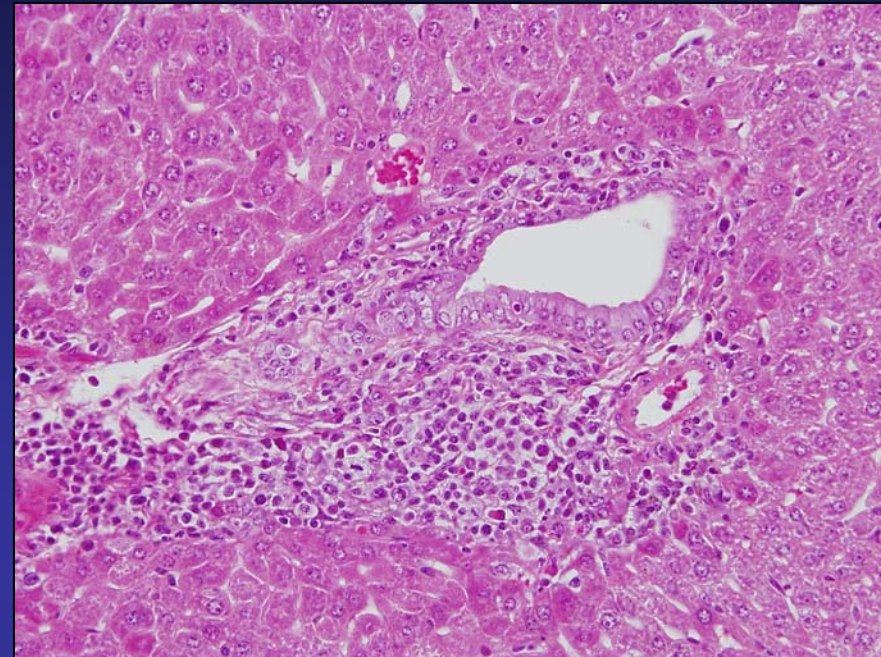
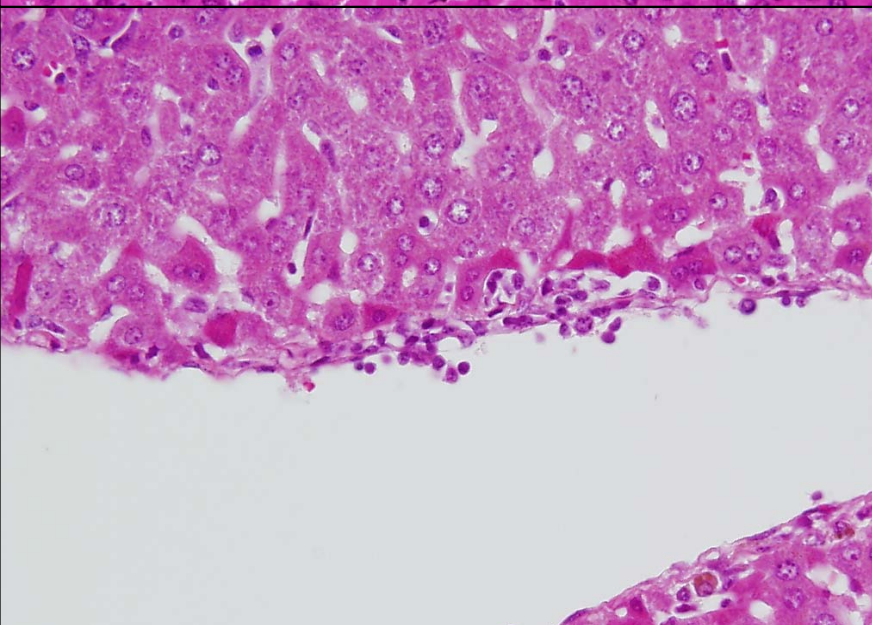
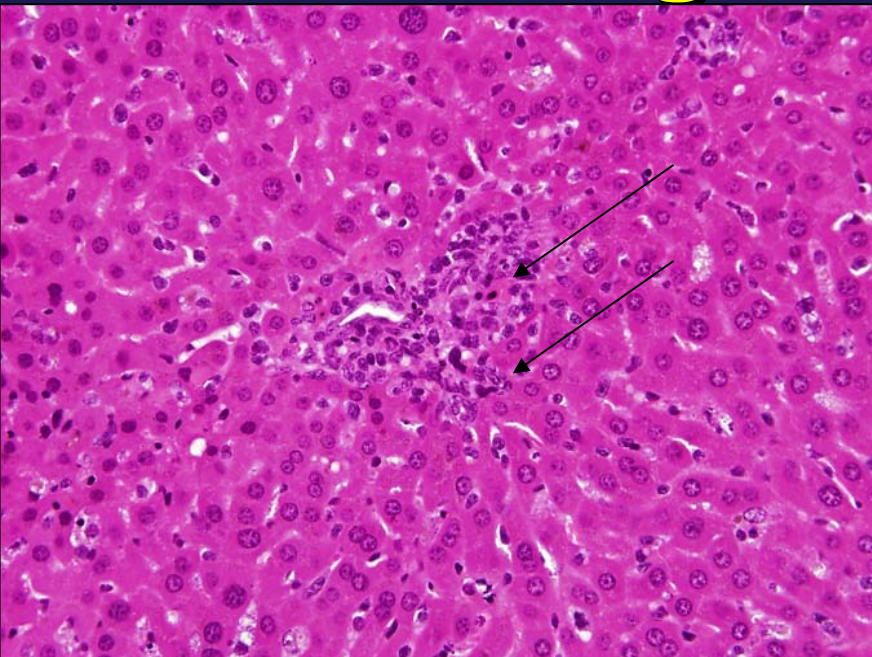


Infiltracion de huT en distintos tejidos (10^7 huT ro - 300cGy)





Higado H&E



Infiltrado linfocitario portal

Infiltrado linfocitario ducto biliar

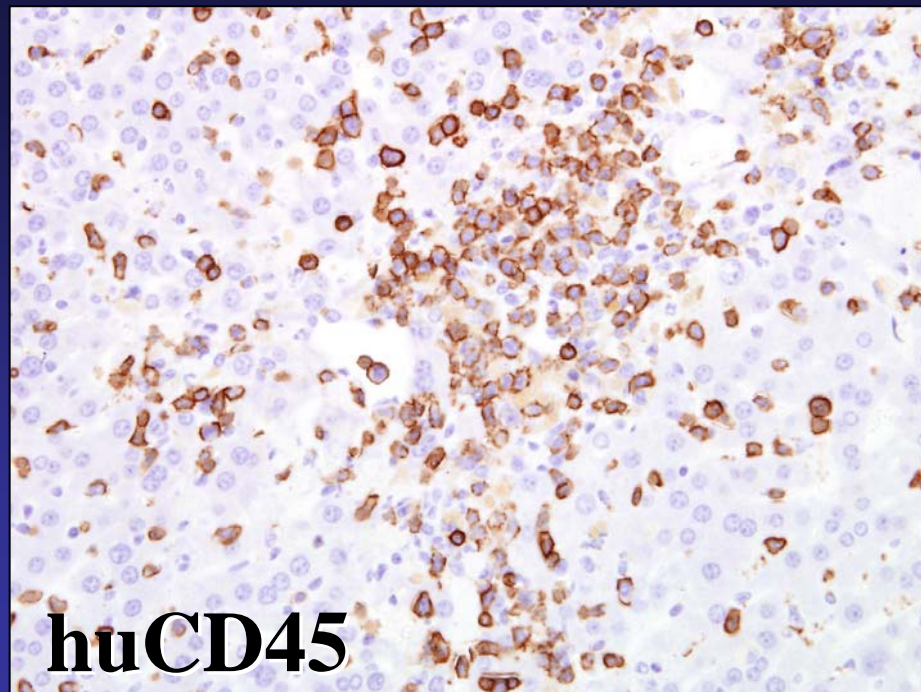
Apoptosis epitelio ducto biliar

Alteracion arquitectura epitelio ductal

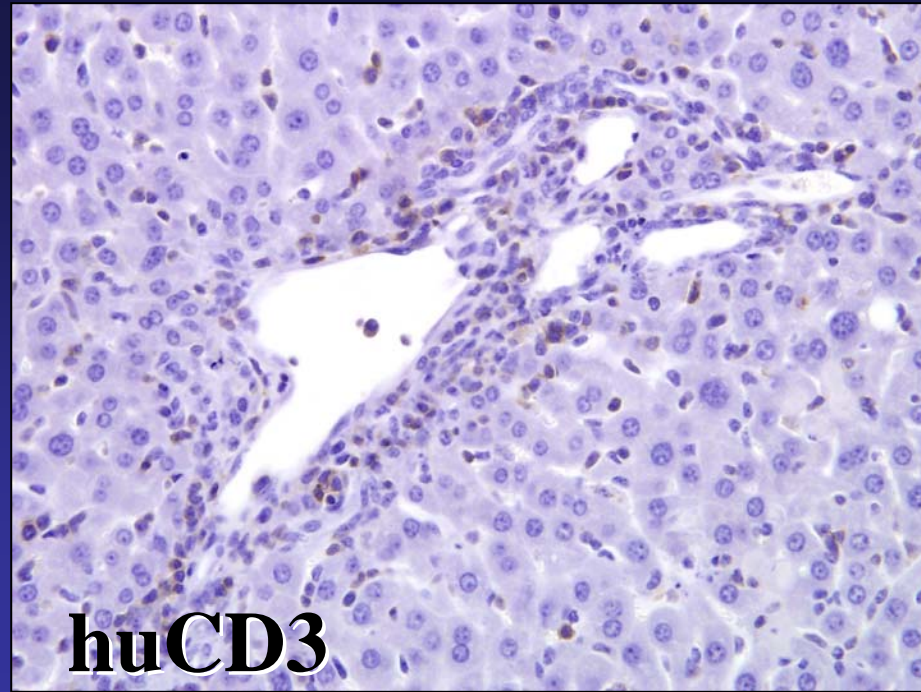
Endotelitis

Apoptosis hepatocitos

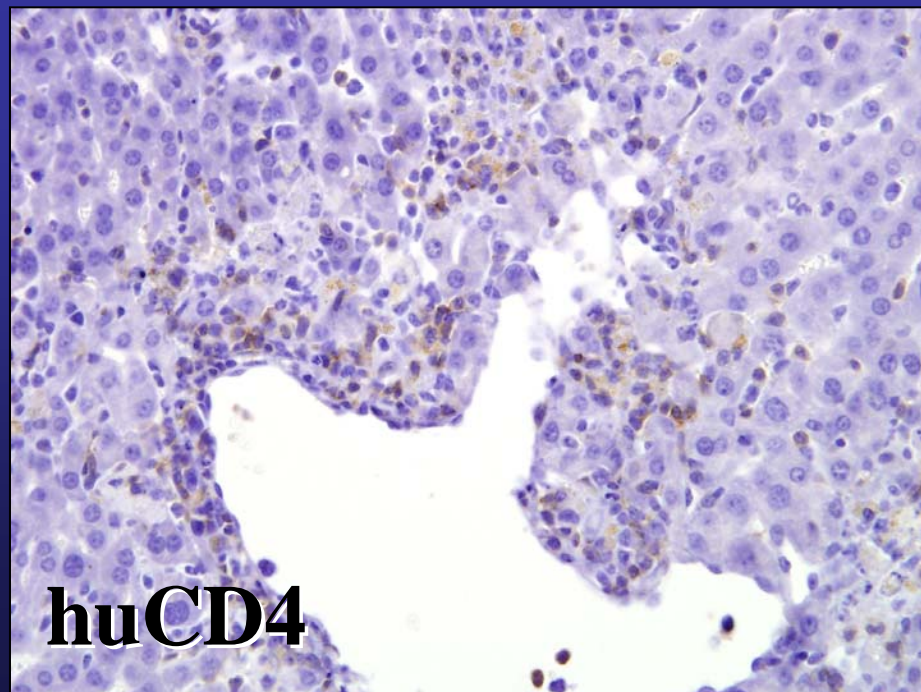
Microabcesos



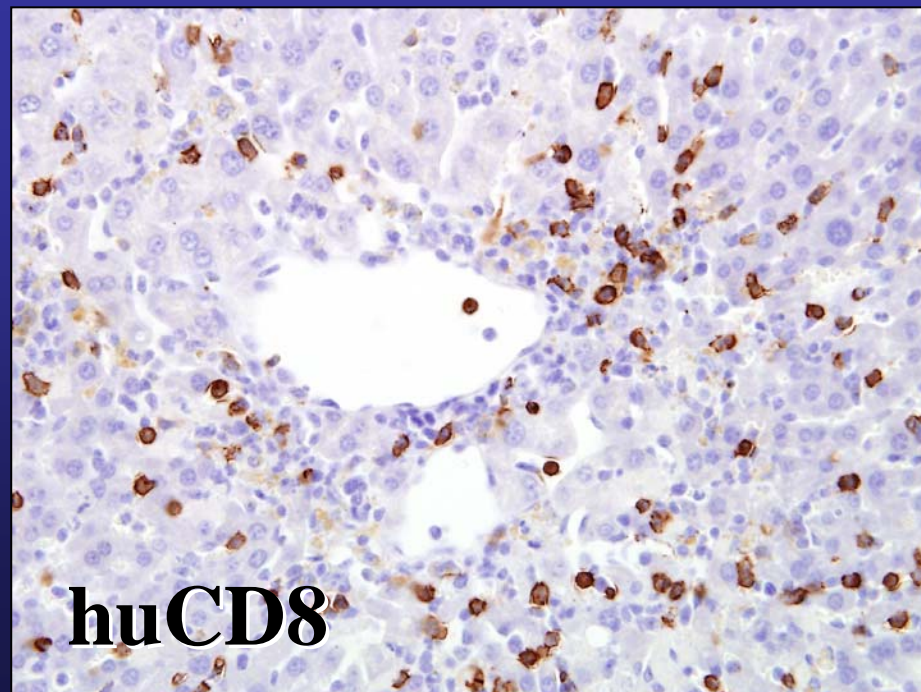
huCD45



huCD3



huCD4



huCD8

Organ	Histologic findings
Skin	Basal vacuolar damage
	Epidermal lymphocytic infiltrate
	Apoptosis in epidermis/follicle
	Dermal lymphocytic infiltrate
	Cleft and microvesicle formation
	Separation epidermis from dermis
Liver	Portal lymphocytic infiltrate
	Bile duct lymphocytic infiltrate
	Bile duct epithelial apoptosis
	Bile duct epithelial sloughing
	Endotheliitis
	Hepatocyte apoptosis
	Microabscess
	Hepatocyte mitosis
	Cholestasis
	Steatosis
Salivary gland	Epithelial apoptosis
	Interstitial lymphocytic infiltrate
	Vasculitis
	Perivascular lymphocytic infiltrate
	Regeneration
	Luminal debris
	Loss of duct or acinus
	Necrosis

Organ	Histologic findings
Small bowel	Villous blunting
	Crypt regeneration
	Luminal sloughing of cellular debris
	Crypt cell apoptosis
	Outright crypt destruction
	Lamina propria infiltrate
	Mucosal ulceration
Colon	Crypt regeneration
	Surface colonocyte vacuolation
	Surface colonocyte attenuation
	Crypt cell apoptosis
	Outright crypt destruction
	Lamina propria infiltrate
	Mucosal ulceration
Lung	Perivascular infiltrate
	Endotheliitis
	Peribronchiolar infiltrate
	Interstitial infiltrate
	Bronchial epithelial apoptosis
	Bronchial epithelial detachment
	Alveolar edema
	Alveolar debris
	Alveolar damage

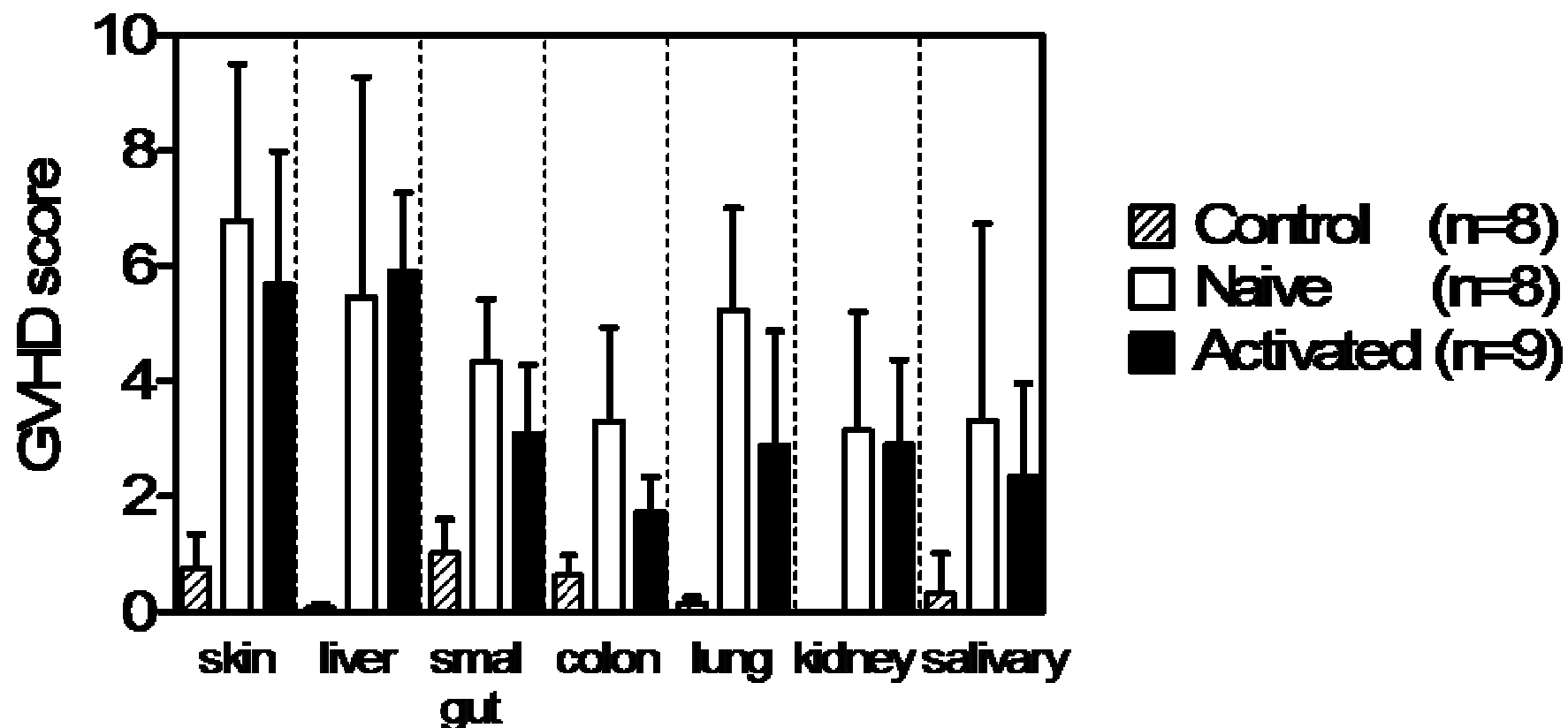
Organ	Histologic findings
Kidney	Interstitial lymphocytic infiltrate
	Tubulitis
	Vasculitis
	Perivascular infiltrate
	Glomerulitis
	Interstitial fibrosis
	Tubular atrophy
Spleen	Glomerular sclerosis
	Apoptosis
	Splenomegaly
	Structural damage
	Fibrosis
	Vasculitis

Score	GvHD
0	normal
0.5	focal and rare
1	focal and mild
2	diffuse and mild
3	diffuse and moderate
4	diffuse and severe

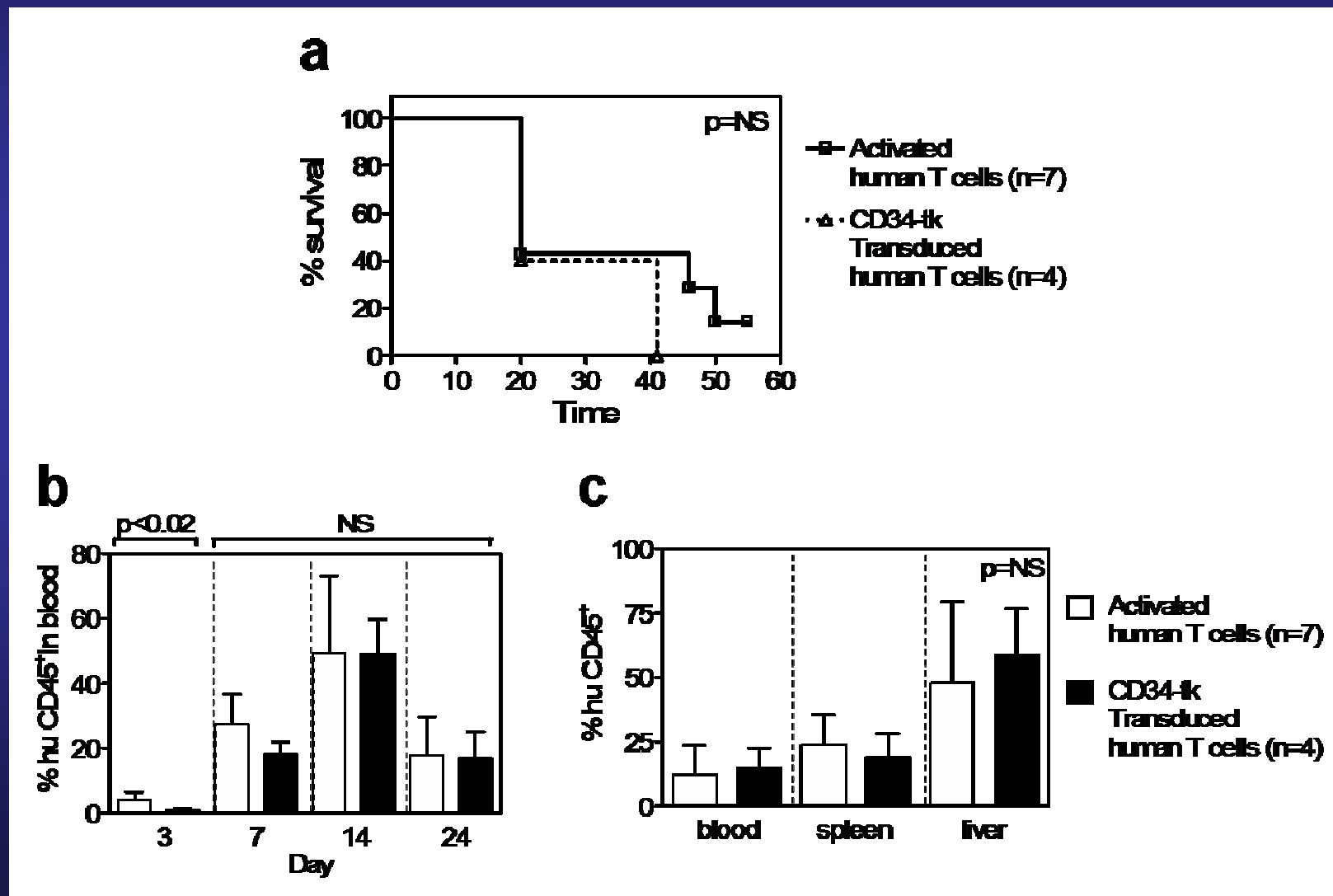
GVHD score

los ratones que bajan de peso y tienen expansión de huT en sangre desarrollan daño tisular

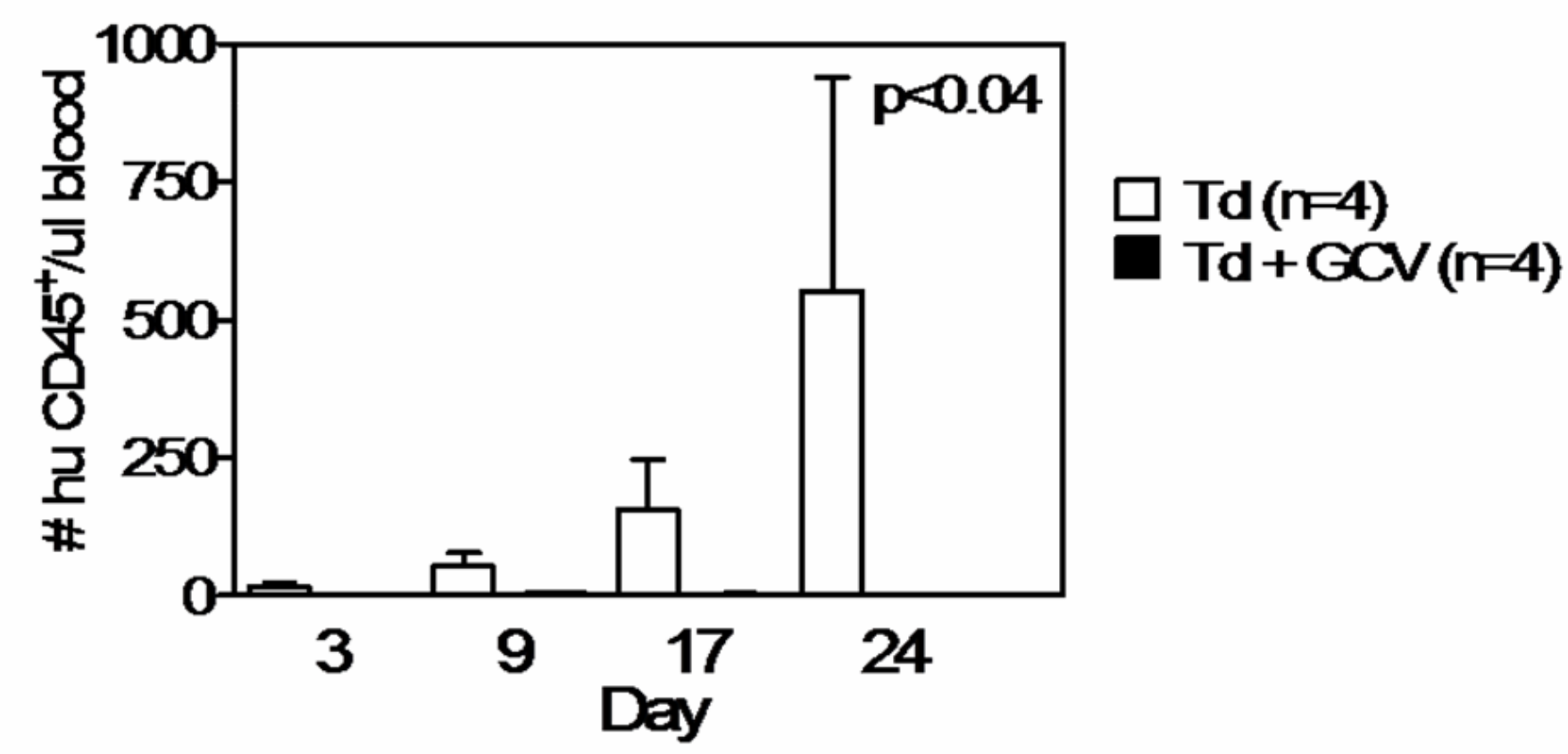
Figure 7



Los huT CD34-tk conservan el potencial de producir GVHD



Terapia genica suicida para controlar GVHD



Prevencion de GVHD usando terapia genica suicida (Δ CD34-TK/GCV)



DISCUSION

1. Desarrollamos un modelo de GVHD con linfocitos humanos en ratones inmunodeprimidos.
2. Consistente con GVHD humano, huT se activan contra alo-antigenos murinos, expanden in vivo, producen IFN γ , infiltran y danan tejidos murinos.
3. Es posible eliminar eficientemente huT CD34-tk con terapia genica suicida.
4. Comenzaremos a reclutar pacientes para estudio Fase I.

AGRADECIMIENTOS



GMP facility

- *Gerhard Bauer*
- *Jon Walker*

Pathology

- *Hanlin Wang*

Xcyte Therapies

- *Mark Bonyhadi*

Stem Cell Biology Division

- *Jan A Nolta*
- *Dave Hess*
- *Phillip E Herrbrich*
- *Todd E Meyerrose*
- *John DiPersio*
- *Michael P Rettig*
- *Julie K Ritchey*